

ISSN 1683-3759 (Print) / ISSN 1726-7269 (Online)

**2021/26(2)**



НАУЧНО-ПРАКТИЧЕСКИЙ ЖУРНАЛ ДЛЯ СТОМАТОЛОГОВ

# АРОДОНТОЛОГИЯ

PARODONTOLOGIYA SCIENTIFIC-PRACTICAL JOURNAL



**ИССЛЕДОВАНИЕ**

**Экспериментальное исследование структурированной импульсным волоконным иттербиевым лазером поверхности титановых имплантатов**  
 А.И. ЯРЕМЕНКО, Е.А. ЗЕРНИЦКАЯ, П.А. ЗОТОВ,  
 Ю.Ю. КАРЛАГИНА, Е.Е. ЕГОРОВА, Г.В. ОДИНЦОВА ..... 88

**Перспективы использования фибриновых скраффолов, заселенных стволовыми клетками пульпы и периодонта. Экспериментальное исследование**  
 Ю.А. ДОМБРОВСКАЯ, Н.И. ЕНУКАШВИЛИ,  
 Р.Е. БАНАШКОВ, Н.Ю. СЕМЕНОВА, И.А. КАРАБАК,  
 А.В. СИЛИН ..... 96

**Актуальная антибактериальная терапия эндо-пародонтальных поражений с вторичным вовлечением пульпы зуба**  
 Л.Ю. ОРЕХОВА, В.Г. АТРУШКЕВИЧ, Е.С. ЛОБОДА,  
 В.Ю. ВАШНЕВА, А.А. ПЕТРОВ ..... 105

**КЛИНИЧЕСКИЙ СЛУЧАЙ**

**Ятрогенный перииmplантит: как это предотвратить?**  
**Описание клинического случая**  
 М.В. ЛОМАКИН, А.В. ЛАБУТОВА,  
 И.И. СОЛОЩАНСКИЙ ..... 114

**ИССЛЕДОВАНИЕ**

**Изучение и анализ критериев прогнозирования безопасного местного обезболивания у пациентов с артериальной гипертензией**  
 Е.Н. АНИСИМОВА, Н.Ю. АНИСИМОВА,  
 Н.А. РЯЗАНЦЕВ, А.В. ДАЯН, И.В. ОРЕХОВА ..... 119

**КЛИНИЧЕСКИЙ СЛУЧАЙ**

**Хирургическое лечение множественных рецессий десны с комбинированным применением аутотрансплантата и аллогенной лиофилизированной dura mater: клинический случай**  
 М.А. НОСОВА, Л.Т. ВОЛОВА, А.Н. ШАРОВ,  
 Д.А. ТРУНИН, М.А. ПОСТНИКОВ ..... 125

**ИССЛЕДОВАНИЕ**

**Комплексное исследование зубной пасты с фтором и 67% водным раствором бикарбоната натрия**  
 С.Н. ГРОМОВА, Н.А. ГУЖАВИНА, Е.А. ФАЛАЛЕЕВА,  
 Е.П. КОЛЕВАТЫХ, А.В. ЕЛИКОВ, С.Б. ПЕТРОВ ..... 137

**Усовершенствование протокола ортопедического лечения пациентов с мышечно-суставной дисфункцией ВНЧС с использованием функционально-диагностического комплекса**  
 Л.В. ДУБОВА, С.С. ПРИСЯЖНЫХ, Н.В. РОМАНКОВА,  
 Д.И. ТАГИЛЬЦЕВ, Г.В. МАКСИМОВ ..... 144

**Сравнительный анализ эффективности хирургических методов лечения рецессии десны I класса по Миллеру**  
 Р.Р. ФАРХШАТОВА, Л.П. ГЕРАСИМОВА,  
 И.Т. ЮНУСОВ ..... 150

**Эффективность устранения гиперестезии зубов и комплаенс – две стороны одной медали**  
 А.К. ИОРДАНИШВИЛИ ..... 159

**КЛИНИЧЕСКИЙ СЛУЧАЙ**

**Особенности алгоритма обследования пациентов с хроническими травматическими поражениями слизистой оболочки рта с применением аутофлюоресцентной стоматоскопии**  
 В.А. ГОРДЕЕВА, И.В. КУЛИК, Е.А. ХРОМОВА,  
 А.Л. РУБЕЖОВ, М.В. ГОРДЕЕВА ..... 163

**ИССЛЕДОВАНИЕ**

**Optimization of periodontal disease diagnosis by the results of clinical laboratory tests**  
 М.А.М. AL-QUFAISH, И.Н. USMANOVA,  
 М.М. TUIGUNOV, Р.Ф. KHUSNARIZANOVA,  
 М.И. GUMEROVA, А.И. SHANGAREEVA ..... 170

**RESEARCH**

**Experimental study of the Ti-implant surfaces structured by the ytterbium-doped pulsed fiber laser**  
 А.И. ЯРЕМЕНКО, Е.А. ЗЕРНИЦКАЯ,  
 П.А. ЗОТОВ, Ю.Ю. КАРЛАГИНА,  
 Е.Е. ЕГОРОВА, Г.В. ОДИНЦОВА ..... 88

**Prospects for the use of fibrin scaffolds populated with pulp and periodontal stem cells: an experimental study**  
 Yu.A. DOMBROVSKAYA, N.I. ENUKASHVILI,  
 R.E. BANASHKOV, N.YU. SEMENOVA, I.A. KARABAK,  
 A.V. SILIN ..... 96

**Current antibiotic therapy of endo-perio lesions with secondary endodontic involvement**  
 L.Yu. OREKHOVA, V.G. ATRUSHKEVITCH, E.S. LOBODA,  
 V.Yu. VASHNEVA, A.A. PETROV ..... 105

**CASE REPORT**

**How to prevent iatrogenic periimplantitis? A clinical case report**  
 M.V. LOMAKIN, A.V. LABUTOVA,  
 I.I. SOLOSHANSKY ..... 114

**RESEARCH**

**The study and analysis of the prognosis criteria for a safe local anesthesia in patients with arterial hypertension**  
 Е.Н. АНИСИМОВА, Н.Ю. АНИСИМОВА, Н.А. РЯЗАНЦЕВ,  
 А.В. ДАЯН, И.В. ОРЕХОВА ..... 119

**CASE REPORT**

**Surgical treatment of multiple gingival recessions by the combination of autograft and allogenic lyophilized dura mater: a clinical case**  
 М.А. НОСОВА, Л.Т. ВОЛОВА, А.Н. ШАРОВ,  
 Д.А. ТРУНИН, М.А. ПОСТНИКОВ ..... 125

**RESEARCH**

**Comprehensive study of the toothpaste containing fluoride and 67% aqueous sodium bicarbonate solution**  
 S.N. GROMOVA, N.A. GUZHAVINA, Е.А. FALALEEVA,  
 Е.П. KOLEVATYKH, А.В. ЕЛИКОВ, С.Б. ПЕТРОВ ..... 137

**Improvement of the prosthodontic treatment protocol in patients with TMD via functional diagnosis**  
 L.V. DUBOVA, S.S. PRISYAZHNYKH,  
 N.V. ROMANKOVA, D.I. TAGILTSEV,  
 G.V. MAKSIMOV ..... 144

**Comparative analysis of the effectiveness of surgical techniques for the treatment of Miller Class I gingival recessions**  
 R.R. FARKHSHATOVA, L.P. GERASIMOVA,  
 I.T. YUNUSOV ..... 150

**The effective treatment of tooth sensitivity and adherence: two sides of the same coin**  
 А.К. ИОРДАНИШВИЛИ ..... 159

**CASE REPORT**

**Characteristics of examination algorithm of patients with chronic trauma of the oral mucosa using tissue autofluorescence spectroscopy**  
 В.А. ГОРДЕЕВА, И.В. КУЛИК, Е.А. ХРОМОВА,  
 А.Л. РУБЕЖОВ, М.В. ГОРДЕЕВА ..... 163

**RESEARCH**

**Optimization of periodontal disease diagnosis by the results of clinical laboratory tests**  
 М.А.М. AL-QUFAISH, И.Н. USMANOVA,  
 М.М. TUIGUNOV, Р.Ф. KHUSNARIZANOVA,  
 М.И. GUMEROVA, А.И. SHANGAREEVA ..... 170

# Хирургическое лечение множественных рецессий десны с комбинированным применением аутотрансплантата и аллогенной лиофилизированной dura mater: клинический случай

М.А. Носова<sup>1</sup>, Л.Т. Волова<sup>1</sup>, А.Н. Шаров<sup>2</sup>, Д.А. Трунин<sup>1</sup>, М.А. Постников<sup>1</sup>

<sup>1</sup>Самарский государственный медицинский университет, Самара, Российская Федерация

<sup>2</sup>ООО «Стоматологический магазин «РОМАШКА», Санкт-Петербург, Российская Федерация

## Резюме

**Актуальность.** Десневая рецессия представляет собой снижение уровня десны в апикальном направлении, сопровождающееся оголением корней зубов, а также атрофией кости вокруг них. Распространенность локализованных рецессий у людей старше 18 лет – 86,7%, генерализованных, то есть на всех зубах, – 28,6%. Высокая распространенность данной патологии обуславливает острую потребность в совершенствовании подхода к лечению множественных рецессий и выбору тактики лечения у пациентов с различными фенотипическими показателями. Золотым стандартом на сегодняшний день остается хирургическое лечение рецессий с применением аутотрансплантата. Однако применение данной методики имеет свои недостатки. Целью данной работы явилось оценить реакцию на операцию и конечный результат хирургического лечения множественных рецессий десны на одном объекте при совместном применении аутотрансплантата и пластического материала в одном дизайне исследования.

**Материалы и методы.** В исследовании представлен и подробно разобран клинический случай применения аутогенного и аллотрансплантатов у одного пациента при лечении генерализованных рецессий десны.

**Результаты.** Во всех случаях применения аутотрансплантата и ТМО (dura mater) наблюдается сопоставимый положительный клинический результат по всем параметрам оценки рецессий десны. Процент закрытия корня зуба наблюдается больше 80% у 13 зубов, менее 80% – у 11 зубов.

**Заключение.** Результат применения ТМО (dura mater) и аутотрансплантата сопоставим, реактивность на операцию одинаковая, к тому же использование ТМО (dura mater) привлекательно для сочетанного, а также самостоятельного применения для хирургического лечения множественных и особенно генерализованных рецессий десны.

**Ключевые слова:** множественная рецессия десны, аутотрансплантат, dura mater

**Для цитирования:** Носова М.А., Волова Л.Т., Шаров А.Н., Трунин Д.А., Постников М.А. Хирургическое лечение множественных рецессий десны с комбинированным применением аутотрансплантата и аллогенной лиофилизированной dura mater: клинический случай. Пародонтология.2021;26(2):125-136. <https://doi.org/10.33925/1683-3759-2021-26-2-125-136>.

# Surgical treatment of multiple gingival recessions by the combination of autograft and allogenic lyophilized dura mater: a clinical case

М.А. Nosova<sup>1</sup>, Л.Т. Volova<sup>1</sup>, А.Н. Sharov<sup>2</sup>, Д.А. Trunin<sup>1</sup>, М.А. Postnikov<sup>1</sup>

<sup>1</sup>Samara State Medical University, Samara, Russian Federation

<sup>2</sup>HAMOMILLA Dental Shop, LLC, Saint Petersburg, Russian Federation

## Abstract

**Relevance.** Gingival recession is the apical migration of the gingival tissues associated with the exposure of the roots and alveolar bone loss. The prevalence of single recessions in people over 18 years old is 86.7% whereas multiple recessions, i.e. where all teeth are affected, amount up to 28.6%. High prevalence of the pathology necessitates improvement of the approach and tactic of multiple recession treatment in patients with different phenotypes. Nowadays, the use of autograft is the gold standard of multiple recession treatment. However, the technique has its drawbacks. The purpose of the present work was to assess the response to surgery and evaluate the final result of multiple recession treatment in one subject where the combination of autogenic and allogenic grafts was used in the same study design.

**Materials and methods.** The paper presents and describes a clinical case where auto- and allografts were used in one patient to treat multiple gingival recessions.

**Results.** All parameters of the gingival recession assessment showed comparable clinical benefit in all sites of autograft and allograft (dura mater) application. The root coverage was more than 80% around 13 teeth and less than 80% around 11 teeth.

**Conclusion.** The results of the autograft and allograft (dura mater) application were comparable, response to surgery was the same; besides, the allograft (dura mater) is attractive for combined and independent use during surgical treatment of multiple and especially full-mouth recessions.

**Key words:** multiple gingival recession, autograft, dura mater.

**For citation:** M.A. Nosova, L.T. Volova, A.N. Sharov, D.A. Trunin, M.A. Postnikov. Surgical treatment of multiple gingival recessions by the combination of autograft and allogenic lyophilized dura mater: a clinical case. Parodontologiya.2021;26(2):125-136. (in Russ.) <https://doi.org/10.33925/1683-3759-2021-26-2-125-136>.

## АКТУАЛЬНОСТЬ

Десневая рецессия представляет собой уменьшение уровня десны в апикальном направлении [1, 2]. Она может быть локализованной или генерализованной. Зачастую рецессия сопровождается оголением корней зубов и атрофией кости вокруг них [3]. Клинически рецессии проявляются повышением чувствительности пришеечной области, болями от агрессивных воздействий, эстетическими нарушениями, абразиями твердых тканей зубов, психологическими расстройствами [3, 4]. Распространенность локализованных рецессий у людей старше 18 лет – 86,7%, генерализованных, то есть на всех зубах – 28,6% [4, 5]. Высокая встречаемость данной патологии вызвала острую потребность в совершенствовании подхода к лечению множественных рецессий и выбору тактики лечения у пациентов с различными фенотипическими показателями [2].

Наиболее распространенным методом лечения рецессии зубов является хирургическое лечение с применением аутотранспланта [6]. Донорскими зонами являются небо и бугор челюсти. Однако полученного таким образом аутотранспланта достаточно для лечения максимально трех зубов. Объем, размер и качество его ограничены [7]. В 20% случаев встречается плохое качество аутотранспланта: он тонкий и не меняет фенотип десны. Эти проблемы в совокупности требуют поиска пластических материалов для создания и увеличения объема прикрепленной десны при лечении множественных рецессий, в особенности генерализованных [8, 9].

На сегодняшний день уже имеется опыт применения *dura mater* при рецессиях [10]. Особый же интерес представляет случай применения ауто- и аллотрансплантов у одного пациента при лечении генерализованных рецессий десны.

**Цель исследования** – оценить реакцию на операцию и конечный результат хирургического лечения множественных рецессий десны на одном объекте при совместном применении аутотранспланта и пластического материала в одном дизайне исследования.

Представленный клинический случай наглядно демонстрирует эффективность совместного использова-

ния аутотранспланта и аллогенного пластического материала – твердой мозговой оболочки, сокращенно ТМО (*dura mater*) «Лиопласт-С» при лечении генерализованных рецессий десны.

В марте 2017 года в клинику обратилась пациентка Ч., 28 лет (табл. 1) без вредных привычек, с положительным социальным статусом, астенического телосложения. С жалобами на тотальное обнажение корней зубов с повышением чувствительности от термических раздражителей, эстетические дефекты, абразии твердых тканей зубов.

Исходный объем мягкотканного комплекса атрофичен, тонкий биотип десны. Мелкое преддверие полости рта на нижней челюсти в переднем отделе, от 44-го до 34-го зубов высокое прикрепление слизисто-мышечных тяжей.

Форма зубной дуги – эллипсовидная, с незначительным сужением в области премоляров на верхней челюсти; во фронтальных участках верхней и нижней челюстей окклюзия в протрузии. Зубы крупные, вытянутые по форме. Межальвеолярный контакт в норме, прикус ортогнатический. Гигиенические индексы: IG – 1,2 (HYG), PI – 6, GI – 0, PBI – 0.

В области от 1.6 до 2.6 и от 3.6 до 4.6 все зубы имеют некариозные поражения разной степени, такие как эрозии эмали и клиновидные дефекты, вовлекающие в процесс ткани эмали и дентина. Подвижности зубов не выявлено (рис. 1а-е) [9].

При анализе и описании компьютерной конусно-лучевой томографии (рис. 2а-г) была выявлена генерализованная первичная дегисценция вестибулярной пластиинки кости от 1/2 до 3/4 длины корней зубов, зубной ряд целостный, все зубы витальные, кардиозных поражений нет. Тип кости 1-2 (Lechholm и Zarb, 1983), первичная дегисценция вестибулярной костной пластиинки превышает пределы возрастной атрофии.

Пародонтологический статус каждого зуба был оценен в таблице 2, где:

1. ГР – глубина рецессии, (рис. 3);
2. ТКД – толщина прикрепленной десны;
3. ШКД – ширина прикрепленной десны;
4. РРД – расстояние от режущего края до края десны;
5. ЗДК – зубодесневой карман.



Рис. 1а. Зубы 1.6-1.2  
Fig. 1a. Teeth 16-12



Рис. 1б. Зубы 1.5-1.1  
Fig. 1b. Teeth 15-11



Рис. 1в. Зубы 2.1-2.6  
Fig. 1c. Teeth 21-26



Рис. 1г. Зубы 3.6-4.1  
Fig. 1d. Teeth 36-41



Рис. 1д. Зубы 3.4-4.3  
Fig. 1e. Teeth 34-43



Рис. 1е. Зубы 3.1-4.6  
Fig. 1f. Teeth 31-46

Рис. 1. Клиническая картина в полости рта  
Fig. 1. Clinical photo of the oral cavity

Таблица 1. Показатели фенотипических статусов пациента; использованы впервые в 2017 году (Носова М.А., Шаров А.Н.)  
 Table 1. Parameters of phenotypic statuses; first used in 2017 (Nosova, M.A., Sharov, A.N.)

Важные фенотипические показатели Important phenotypic indicators	Конституция (Черноруцкий М.В., 1927) Body type (M.V. Chernoruzsky, 1927)	Тип кости (Lechkov и Zarb, 1983) Bone type (Lechkov and Zarb, 1983)	Объем кости Bone volume	Объем десны (биотип) Gingival biotype	Точки крепления мышц Muscle attachment sites	Форма зубного ряда Dental arch form	Форма зубов Tooth form/ size	Межальвеолярное расстояние Vertical dimension	Гигиенические индексы Hygiene indices	
Гиперстения Hypersthenic	1	Первичная дегисценция Primary dehiscence	Очень толстый (более 3 мм) Very thick (more than 3 mm)	Определяются по анатомическому атласу.		Эллипсовидная, с незначительным сужением в области премоляров на верхней челюсти;	Межальвеолярный контакт в норме, прикус ортогнатический	IG - 1,2 (HYG)		
Нормостения Normosthenic	2	Вторичная дегисценция Secondary dehiscence	Толстый (2-3 мм) Thick (2-3 mm)	При тонком биотипе пальпированием		Зубы крупные, вытянутые по форме	Normal vertical dimension, healthy bite	PI - 6	GI - 0	
Значения и статусы Values and statuses	3	Атрофия в пределах нормы The atrophy is within normal limits	Атрофия в пределах нормы The atrophy is within normal limits	Средний (1-2 мм) Medium (1-2 mm)	Средний (1-2 мм) Medium (1-2 mm)	Large elongated teeth		PBI - 0	Коэффициент BO3 (1980) – (отсутствует) WHO coefficient (1980) – absent	
	4	Исключающая хирургическое вмешательство атрофия The atrophy excludes surgery	Исключающая хирургическое вмешательство атрофия The atrophy excludes surgery	Тонкий (менее 1 мм) Thin (less than 1 mm)	Зубы: 13,14, 23, 24, 33, 43; от 44-го до 34-го зубов; высокое прикрепление слизисто-мышечных тяжей Teeth: 13,14, 23, 24, 33, 43; from 44 to 34 high attachment of the muscle frena					
		Атрофия Tissue loss		Влияет на выбор протокола операции и пластического материала для изменения биотипа десны	Влияет на способ фиксации пластического материала и мобилизации слизисто-надкостничного лоскута	Влияет на необходимый размер пластического материала и выбор метода одонтопластики	Влияет на наличие супраконтактов и определяет послепротезционную перегрузку по прикусу	Влияет на после-операционное состояние, риск воспаления, отдаленный результат	It affects the post-operative condition, risk of inflammation, long-term result	
		Влияет на склонность к атрофии и потенциал регенерации It affects the predisposition to the atrophy and regeneration potential	Влияет на прогнозируемую атрофию кости и десны после операции	Влияет на напряжение слизисто-мышечных тяжей и дизайн слизисто-надкостничного лоскута	It affects the tension of the musculomucosal frena and design of the graft	It affects the graft size and the choice of tooth reshaping material to change the gingival biotype	It affects osseal supracontacts and determines post-operative occlusal overloading	It affects the post-operative condition, risk of inflammation, long-term result		
		Comments: why should this be taken into account or what does the indicator affect								

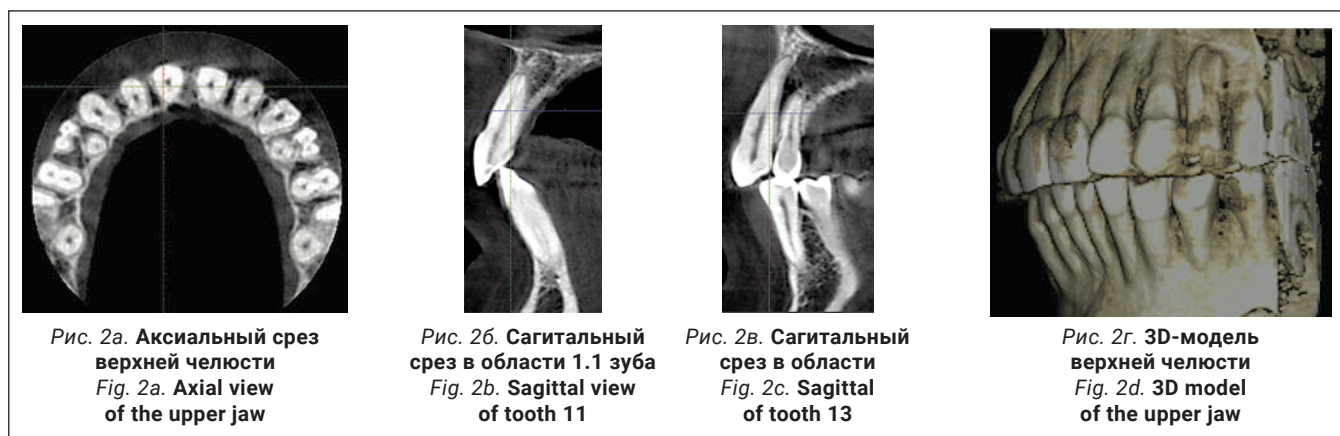


Рис. 2. Компьютерное томографическое исследование  
Fig. 2. CT scan

Исходный диагноз: генерализованные рецессии десны 1 и 2 класса по Миллеру [7, 9, 10].

При анализе уровня дегисценции остро стоял вопрос о зубосохраняющих операциях для увеличения толщины прикрепленной десны или ее создания, для предотвращения прогрессирования рецессий десны и резорбции костной ткани альвеол, для реконструкции костной массы альвеол и поддержки мягких тканей пародонта (табл. 3).

Был выбран и согласован следующий план лечения рецессий десны:

1. Генерализованные рецессии в области нижней челюсти оперировались в один этап все 12 зубов, фронтальный участок с аутотрансплантатом от 3.2 до 4.2 зубов. А дистальные участки от 3.6 до 3.3 и от 4.6 до 4.3 зубов с использованием пластического материала ТМО (dura mater) (рис. 4а-з).

2. Рецессии в области верхней челюсти были разделены на две операции с разницей в 2,5 месяца (рис. 5а-л):

- первым был прооперирован второй сегмент от 2.1 до 2.6 зубов,
- затем был прооперирован первый сегмент от 1.1 до 1.6 зубов.

Для самых глубоких рецессий был выбран аутотрансплантат, в остальных случаях использовалась ТМО.

Использованный пластический материал представляет собой образцы твердой мозговой оболочки (ТМО) размером 40 на 40 мм, лиофилизованные стерильные. В процессе производства биоимплантов из твердой мозговой оболочки по технологии «Лиопласт»®, на первом этапе процесс получения имплантатов включает специальную ультразвуковую очистку от антигенных структур для проведения первичной стерилизации материала и вирусной инактивации. После первичной обработки ткани лиофилизируют, а затем герметично упакованный материал на заключительном этапе стерилизуют радиационным методом. Применение химических факторов при изготовлении применяются в минимальном количестве для снижения аллергических реакций и осложнений.

#### Этапы хирургического лечения рецессий десны на нижней челюсти

3.2-4.2 зубы были прооперированы методом, сочетающим вестибулопластику с одновременным увеличением ширины и толщины прикрепленной десны при помощи свободного десневого аутотрансплантата (операция Bjorn, 1963 г.).

Таблица 2. Исходный пародонтологический статус пациента и параметры рецессий всех оперированных зубов

Table 2. Baseline periodontal status of the patient and recession parameters of all treated teeth

Номер зуба Tooth #	Исходное клиническое состояние Baseline					
	ГР RD	ТКД TAG	ШКД WAG	РРД DIEGM	ЗДК PP	Класс рецессии Recession class
11	1,5	1	2	12,5	1	1
12	4	0,5	1	14	1	2
13	5	0,5	0	15	1,5	2
14	4	1	1,5	11	2	2
15	4	0,5	1	12	1	3
16	6	1	0	13	1,5	3
21	3	0,7	1,5	14	1	2
22	4,5	0,7	1,5	14	1	2
23	5	0,7	0,5	15	1	2
24	4	1	1,5	12	2	2
25	4	0,5	1	12	2	2
26	4,5	0,3	0	12	1,5	3
31	5	0,5	0	14	4	3
32	4,5	0,5	0	13,5	4,5	3
33	2,5	0,5	0	12,5	1,5	2
34	3	0,5	0	13	1,5	2
35	3	0,7	0	11,5	1,5	2
36	3	0,7	1,5	10	1,5	1
41	6	0,4	0	14,5	3,5	3
42	3,5	0,5	0	13	3,5	3
43	4	0,7	0	14	2,5	2
44	3	0,7	0	12	2	2
45	2	0,7	0	10,5	1,5	2
46	2	0,8	1	10	2	1



Рис. 3а. В области 1.1 зуба  
Fig. 3a. Tooth 11



Рис. 3б. В области 1.2 зуба  
Fig. 3b. Tooth 12



Рис. 3в. В области 1.3 зуба  
Fig. 3c. Tooth 13



Рис. 3г. В области 1.4 зуба  
Fig. 3d. Tooth 14



Рис. 3д. В области 1.5 зуба  
Fig. 3e. Tooth 15



Рис. 3е. В области 1.6 зуба  
Fig. 3f. Tooth 16

Рис. 3. Измерение глубины рецессии в первом сегменте верхней челюсти  
Fig. 3. Measurement of the recession depth in the first quadrant of the upper jaw

#### Хирургическая методика

1. Подготовка принимающего ложа. Включает в себя формирование полнослойно-расщепленного слизисто-надкостничного лоскута (полнослойного в области зенитов рецессий, расщепленного билатерально области рецессии десны), рассечение и отслаивание слизисто-мышечных волокон вестибулярно ниже мукогингивальной границы, деэпителизация межзубных сосочков.

2. Обработка поверхностей корней зубов. Включает ультразвуковую обработку скайлером для очищения от минерализованных зубных отложений и мягкого зубно-

го налета, экспозицию геля ЭДТА 17% в течение двух минут, механическое удаление слоя бесклеточного цемента импрегнированного микроорганизмами зоноспецифическими кюретами, полировку пародонтологическими борами («фасолька» и «обратный треугольник»).

3. Получение аутотрансплантата: начинается с определения толщины донорской зоны и замеров размера будущего трансплантата. Зона забора от второго премоляра до третьего моляра верхней челюсти. Глубина погружения брюшка скальпеля 2 мм, далее трансплантат оптимизируют – деэпителизируют по периметру.



Рис. 4а. Дизайн разреза и отслаивание слизисто-надкостничного лоскута (СНЛ)  
Fig. 4a. Incision design and elevation of the mucoperiosteal flap (MPF)



Рис. 4б. Мукопластический материал ТМО (dura mater)  
Fig. 4b. Dura mater allograft

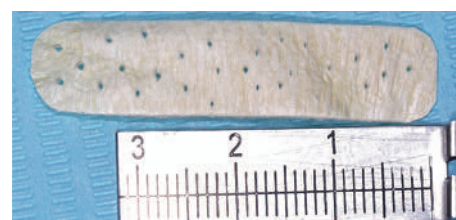


Рис. 4в. Моделированный трансплантат пластического материала  
Fig. 4c. Trimmed graft

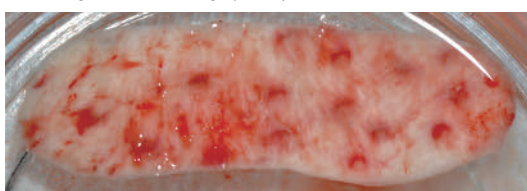


Рис. 4г. Гидратированный трансплантат ТМО (dura mater)hydrated in the patient's capillary blood  
Fig. 4d. Dura mater graft hydrated in the patient's capillary blood

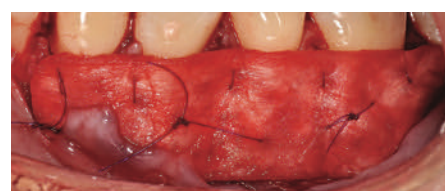


Рис. 4д. Фиксация ТМО в области рецессии  
Fig. 4e. Suturing of the dura mater in the area of the recession



Рис. 4е. Ушивание операционной раны  
Fig. 4f. Suturing of the surgical wound



Рис. 4ж. Дизайн разреза и отслаивание СНЛ в области передних зубов нижней челюсти  
Fig. 4g. Incision design and elevation of the MPF in the anterior mandible



Рис. 4з. Фиксация аутотрансплантата в области рецессии  
Fig. 4h. Autograft suturing at the recession

Рис. 4. Этапы хирургического лечения рецессий десны на нижней челюсти  
Fig. 4. Stages of the gingival recession surgical treatment in the lower jaw



Таблица 3. Выбор метода операции  
Table 3. Selecting the surgery method

Класс рецессии Class of recession	1 класс. ГР до 2 мм Class 1, RD ≤ 2 mm	1 класс. ГР больше 2 мм Class 1, RD > 2 mm	2 класс. ГР до 3 мм Class 2, RD ≤ 3 mm	2 класс. ГР более 3 мм Class 2, RD > 3 mm	3 класс I п/класс. Д. Тарноу 1 Class 3-A; 1 according to D. Tarnow	3 класс II п/класс. Д. Тарноу 2 Class 3-B; 2 according to D. Tarnow	4 класс. Д. Тарноу 3 Class 4; 3 according to D. Tarnow	4 класс. Д. Тарноу 3+ Class 4; 3+ according to D. Tarnow
<b>ШКД апикально отсутствует</b> No attached gingiva apically	<b>Корональное смещение.</b> 1- или 2-слойная метод. СДТ или ТМО Coronally advanced flap, single - or double-layered technique. Autograft or allograft	<b>Корональное смещение.</b> 1- или 2-слойная метод. СДТ или ТМО Coronally advanced flap, single - or double-layered technique. Autograft or allograft	<b>Корональное смещение.</b> 2-слойная метод. СДТ или ТМО Coronally advanced flap, double-layered technique. Autograft or allograft	<b>Корональное смещение.</b> 2-слойная метод. СДТ или ТМО Coronally advanced flap, double-layered technique. Autograft or allograft	<b>Корональное смещение.</b> 2-слойная метод. СДТ или ТМО Coronally advanced flap, double-layered technique. DFGG or dura mater	<b>Корональное смещение.</b> 2-слойная метод. СДТ или ТМО Coronally advanced flap, double-layered technique. DFGG or dura mater	<b>Корональное смещение.</b> 2-слойная метод. СДТ или ТМО Coronally advanced flap, double-layered technique. DFGG or dura mater	<b>Корональное смещение.</b> 2-слойная метод. СДТ или ТМО Coronally advanced flap, double-layered technique. DFGG or dura mater
<b>ШКД апикально менее 3 мм</b> The width of attached gingiva (WAG) (apically) is < 3 mm	<b>Корональное смещение.</b> 1- или 2-слойная метод. СДТ или ТМО Coronally advanced flap, single - or double-layered technique. Deepithelialized FGG (DFGG) or allograft (dura mater)	<b>Корональное смещение.</b> 1- или 2-слойная метод. СДТ или ТМО Coronally advanced flap, single - or double-layered technique. Deepithelialized FGG (DFGG) or allograft (dura mater)	<b>Корональное смещение.</b> 1- или 2-слойная метод. СДТ или ТМО Coronally advanced flap, single - or double-layered technique. Deepithelialized FGG (DFGG) or allograft (dura mater)	<b>Корональное смещение.</b> 1- или 2-слойная метод. СДТ или ТМО Coronally advanced flap, single - or double-layered technique. Deepithelialized FGG (DFGG) or allograft (dura mater)	<b>Корональное смещение.</b> 1- или 2-слойная метод. СДТ или ТМО Coronally advanced flap, single - or double-layered technique. TAG (see TAG)	<b>Корональное смещение.</b> 1- или 2-слойная метод. СДТ или ТМО Coronally advanced flap, single - or double-layered technique. TAG (see TAG)	<b>Корональное смещение.</b> 1- или 2-слойная метод. СДТ или ТМО Coronally advanced flap, single - or double-layered technique. TAG (see TAG)	<b>Корональное смещение.</b> 1- или 2-слойная метод. СДТ или ТМО Coronally advanced flap, single - or double-layered technique. TAG (see TAG)
<b>ШКД апикально 3 мм и более</b> The width of attached gingiva (WAG) (apically) is ≥ 3 mm	<b>Корональное смещение.</b> 1-слойная метод. Coronally advanced flap, single-layered technique	<b>Корональное смещение.</b> 1-слойная метод. Coronally advanced flap, single-layered technique	<b>Корональное смещение.</b> 1-слойная метод. Coronally advanced flap, single-layered technique	<b>Корональное смещение.</b> 1-слойная метод. Coronally advanced flap, single-layered technique	<b>Корональное смещение.</b> 1-слойная метод. Coronally advanced flap, single-layered technique			
<b>ШКД латерально менее 6 мм</b> The width of attached gingiva (WAG) laterally is < 6 mm	<b>Корональное смещение.</b> 1-слойная метод. Coronally advanced flap. Single-layered technique	<b>Корональное смещение.</b> 1-слойная метод. Coronally advanced flap. Single-layered technique	<b>Корональное смещение.</b> 2-слойная метод. ТМО Coronally advanced flap, double-layered technique. Dura mater	<b>Корональное смещение.</b> 2-слойная метод. СДТ или ТМО Coronally advanced flap, double-layered technique. DF GG or dura mater	<b>Корональное смещение.</b> 2-слойная метод. СДТ или ТМО Coronally advanced flap, double-layered technique. DF GG or dura mater	<b>Корональное смещение.</b> 2-слойная метод. СДТ или ТМО Coronally advanced flap, double-layered technique. DF GG or dura mater	<b>Двухэтапный метод:</b> 1 – СДТ; 2 – Корональное смещение Two-stage technique: 1 – FGG; 2 – Coronal advancement	<b>Двухэтапный метод:</b> 1 – СДТ/НТР; 2 – Корональное смещение Two-stage technique: 1 – FGG/GTR; 2 – Coronal advancement

Продолжение таблицы



<b>Класс рецессии</b> Class of recession	<b>1 класс.</b> ГР до 2 мм Class 1, RD ≤ 2 mm	<b>1 класс.</b> ГР больше 2 мм Class 1, RD > 2 mm	<b>2 класс.</b> ГР до 3 мм Class 2, RD ≤ 3 mm	<b>2 класс.</b> ГР более 3 мм Class 2, RD > 3 mm	<b>3 класс I п/класс.</b> <b>Д. Тарноу 1</b> Class 3A; 1 according to D.Tarnow	<b>3 класс II п/класс.</b> <b>Д. Тарноу 2</b> Class 3B; 2 according to D.Tarnow	<b>4 класс.</b> <b>Д. Тарноу 3</b> Class 4; 3 according to D.Tarnow
<b>ШКД патерральное 6 мм и более</b> The width of attached gingiva (WAG) laterally is ≥ 6 mm	<b>Латеральное смещение.</b> 1-слойная метод. Laterally repositioned flap, single-layered technique	<b>Латеральное смещение.</b> (см. ТКД) Laterally repositioned flap (see TAG)	<b>Латеральное смещение.</b> 1-слойная метод. Laterally repositioned flap, single-layered technique	<b>Латеральное смещение.</b> 1-слойная метод. Laterally repositioned flap, single-layered technique	<b>Латеральное смещение.</b> 2-слойная метод. + СДДТ Laterally repositioned flap, double-layered technique + DFGG	<b>Латеральное смещение.</b> 2-слойная метод. + СДДТ Laterally repositioned flap, double-layered technique + DFGG	<b>Двухэтапный метод:</b> 1 – СДТ; 2 – Латеральное смещение Two-stage technique: 1-FGG/GTR; 2-Lateral repositioning
<b>Абрация твердых тканей</b> Hard tissue abrasion	<b>Корональное смещение.</b> 1-слойная метод. + реставрация твердых тканей Coronally advanced flap, single-layered technique + dura mater + boneplasty	<b>Корональное смещение.</b> 2-слойная метод. + ТМО + реставрация твердых тканей Coronally advanced flap, double-layered technique + dura mater + boneplasty	<b>Корональное смещение.</b> 2-слойная метод. СДДТ или ТМО Coronally advanced flap, double-layered technique. DFGG or dura mater	<b>Корональное смещение.</b> 2-слойная метод. СДДТ или ТМО Coronally advanced flap, double-layered technique. DFGG or dura mater	<b>Корональное смещение.</b> 2-слойная метод. СДДТ или ТМО Coronally advanced flap, double-layered technique. DFGG or dura mater	<b>Корональное смещение.</b> 2-слойная метод. СДДТ или ТМО Coronally advanced flap, double-layered technique. DFGG or dura mater	<b>Недостаточно данных</b> Insufficient data
<b>Абрация отсутствует</b> No abrasion	<b>Корональное смещение.</b> 1-слойная метод. ТМО Coronally advanced flap, single-layered technique. Dura mater	<b>Корональное смещение.</b> 1-слойная метод. СДДТ или ТМО Coronally advanced flap, single-layered technique	<b>Корональное смещение.</b> 2-слойная метод. СДДТ или ТМО Coronally advanced flap, double-layered technique. DFGG or dura mater	<b>Корональное смещение.</b> 2-слойная метод. СДДТ или ТМО Coronally advanced flap, double-layered technique. DFGG or dura mater	<b>Корональное смещение.</b> 2-слойная метод. СДДТ или ТМО Coronally advanced flap, double-layered technique. DFGG or dura mater	<b>Корональное смещение.</b> 2-слойная метод. СДДТ или ТМО Coronally advanced flap, double-layered technique. DFGG or dura mater	<b>Недостаточно данных</b> Insufficient data
<b>ТКД менее 1 мм</b> Thickness of attached gingiva (TAG) is < 1 mm	<b>Корональное смещение.</b> 2-слойная метод. ТМО Coronally advanced flap, double-layered technique. Dura mater	<b>Корональное смещение.</b> 2-слойная метод. СДДТ или ТМО Coronally advanced flap, double-layered technique. DFGG or dura mater	<b>Корональное смещение.</b> 2-слойная метод. СДДТ или ТМО Coronally advanced flap, double-layered technique. DFGG or dura mater	<b>Корональное смещение.</b> 2-слойная метод. СДДТ или ТМО Coronally advanced flap, double-layered technique. DFGG or dura mater	<b>Корональное смещение.</b> 2-слойная метод. СДДТ или ТМО Coronally advanced flap, double-layered technique. DFGG or dura mater	<b>Корональное смещение.</b> 2-слойная метод. СДДТ или ТМО Coronally advanced flap, double-layered technique. DFGG or dura mater	<b>Недостаточно данных</b> Insufficient data
<b>ТКД более 1 мм</b> Thickness of attached gingiva (TAG) is > 1 mm	<b>Корональное смещение.</b> 1-слойная метод. Coronally advanced flap, single-layered technique	<b>Корональное смещение.</b> 1-слойная метод. Coronally advanced flap, single-layered technique	<b>Корональное смещение.</b> 1-слойная метод. Coronally advanced flap, single-layered technique	<b>Корональное смещение.</b> 2-слойная метод. СДДТ или ТМО Coronally advanced flap, double-layered technique. DFGG or dura mater	<b>Корональное смещение.</b> 2-слойная метод. СДДТ или ТМО Coronally advanced flap, double-layered technique. DFGG or dura mater	<b>Корональное смещение.</b> 2-слойная метод. СДДТ или ТМО Coronally advanced flap, double-layered technique. DFGG or dura mater	<b>Недостаточно данных</b> Insufficient data

4. Затем проводится позиционирование аутотрансплантата в области рецессий и принимающего ложа двумя-тремя узловыми швами; после аутотрансплантат стабилизируют прижимающими двумя-четырьмя матрасными крестообразными швами, что позволит плотно прижать аутотрансплантат и избежать образования «мертвых» зон для питания аутотрансплантата.

Участки 3.3-3.6 зубов и 4.3-4.6 зубов были прооперированы зеркально по методу коронально-ротированного лоскута по M. De Sanctis и G. Zucchelli (2000) с одним послабляющим вертикальным разрезом в области 3.3 зуба или 4.3 зуба.

#### Протокол хирургической операции:

1. Измерены глубины рецессий (ГР), эти замеры отложены от вершин межзубных сосочков в апикальном направлении в сторону зенита рецессии.

2. Дизайн разрезов соответствует методике Zucchelli G. коронально-ротированного смещения (2000).

3. Мобилизация слизисто-надкостничного лоскута, деэпителизация анатомических сосочков, обработка поверхности корней зубов.

4. Фиксация пластического материала ТМО (dura mater) к поверхности корней зубов в области зоны создания необходимого объема прикрепленной десны.

5. Закрытие пластического материала слизисто-надкостничным лоскутом со смещением в корональном направлении, и фиксация слизисто-надкостничного лоскута швами; дополнительная фиксация зоны перемещенных и в будущем созданных мягких тканей десны в зоне рецессии десны для стабилизации результата операции.

6. Обработка поверхностей корней зубов проводилась аналогично (см. выше).

#### Этапы хирургического лечения рецессий десны на верхней челюсти

Второй сегмент был прооперирован через 4 месяца после операций на нижней челюсти, область операции включила в себя зубы от 2.1 до 2.6.

В области 2.3 зуба глубина рецессии составила 6 мм (2-й класс по Миллеру), кератинизированная десна отсутствует, толщина слизистой – 0,7 мм. Это показание к применению аутотрансплантата (свободного десневого деэпителизированного трансплантата) именно в области 2.3 зуба. Донорская зона позволила сделать забор аутотрансплантата размером 15 мм, которого хватило на общую ширину рецессий двух зубов: 2.3 и 2.4.

При устранении рецессий десны коронально-смещенным лоскутом по De Sanctis M. и Zucchelli G. в остальных участках был использован пластический материал аллогенного происхождения – ТМО (dura mater).

Хирургический протокол операции соответствовал технике коронально-ротированного смещения, пластический материал и аутотрансплантат были полностью перекрыты слизисто-надкостничным лоскутом и зафиксированы швами. Обработка поверхностей корней зубов проводилась аналогично.

Первый сегмент был прооперирован через 2,5 месяца после операции во втором сегменте.

В области 1.3 и 1.2 зубов выявлены рецессии десны глубиной 6 мм 2-го класса, полное отсутствие прикрепленной десны, толщина ее составила 0,6 мм. Зона хирургического устранения рецессий от 1.6 до 1.1 зубов.

Протокол операции коронально-ротированного лоскута по методике M. De Sanctis и G. Zucchelli: дизайн разрезов с измерением глубины рецессий, отслаивание слизисто-надкостничного лоскута и его мобилизация.



Рис. 5а. Дизайн разреза  
Fig. 5a. Incision design



Рис. 5б. Отслаивание СНЛ  
Fig. 5b. MPF elevation



Рис. 5в. Химическая обработка поверхности корней зубов  
Fig. 5c. Chemical treatment of the root surface



Рис. 5г. Забранный аутотрансплантат с неба  
Fig. 5d. Palate autograft



Рис. 5д. Оценка толщины и качества трансплантата  
Fig. 5e. Assessment of the graft thickness and quality



Рис. 5е. Деэпителизация аутотрансплантата  
Fig. 5f. Autograft deepithelialization



Рис. 5ж. Трансплантат готов к фиксации  
Fig. 5g. The graft is ready for suturing



Рис. 5з. Фиксация аутотрансплантата и ТМО (dura mater) в области рецессии  
Fig. 5h. Suturing of the autograft and dura mater in the area of the recession



Рис. 5и. Ушивание операционной раны  
Fig. 5i. Suturing of the surgical wound



Рис. 5j. Дизайн разреза  
Fig. 5j. Incision design



Рис. 5к. Поверхности корней зубов после машинной обработки  
Fig. 5k. Root surfaces after the machine treatment

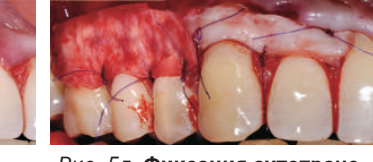


Рис. 5л. Фиксация аутотрансплантата и ТМО (dura mater) в области рецессии  
Fig. 5l. Suturing of autograft and dura mater in the area of the recession

Рис. 5. Этапы хирургического лечения рецессий десны на верхней челюсти  
Fig. 5. Stages of the gingival recession surgical treatment in the upper jaw

**Таблица 4. Параметры рецессий десны до начала лечения, через 3-4, 6-8 и 12 месяцев после лечения, изменение класса рецессий и процент закрытия корня зуба**  
**Table 4. Parameters of gingival recessions at the baseline, 3-4, 6-8 and 12 months after the treatment, changes in the class of recessions and the percentage of root coverage**

Ауто-трансплантат/ TMO Autograft/ allograft (dura mater)	Номер зуба Tooth #	Исходное клиническое состояние, мм Baseline, mm						Состояние через 3-4 месяца, мм 3-4 months post-op, mm						Состояние через 6-7 месяцев (21-26 зубы 8 месяцев), мм 6-7 months post-op (21-26 teeth 8 months post-op), mm						Состояние через 12 месяцев, мм 12 months post-op, mm					
		ГР RD	ТКД TAG	ШКД WAG	РРД DIEGM	ЗДК PP	ГР RD	ТКД TAG	ШКД WAG	РРД DIEGM	ЗДК PP	ГР RD	ТКД TAG	ШКД WAG	РРД DIEGM	ЗДК PP	ГР RD	ТКД TAG	ШКД WAG	РРД DIEGM	ЗДК PP	% закрытия корня зуба (%ЭК) % root coverage (%RC)			
TMO / allo-	11	1,5	1	2	12,5	1	0	1,5	3,5	11	1	0	1	4	11	1	0	1	4	10	1	100,00			
ауто- / auto-	12	4	0,5	1	14	1	0	1,7	4,5	10,5	1	0	1	5	10,5	1	0	1	5	9,5	1	100,00			
ауто- / auto-	13	5	0,5	0	15	1,5	0	1,3	5	11	1,5	0	1	5	11	1	0	1	5	10	1	100,00			
TMO / allo-	14	4	1	1,5	11	2	1	2,1	2,5	10	1,5	0,5	1	2	10	1,5	0	1	2,5	10,5	1,5	100,00			
TMO / allo-	15	4	0,5	1	12	1	0	1,7	2	10	2	0	1,5	1,5	10	1,5	0,5	1,5	1,5	8,5	1,5	87,50			
TMO / allo-	16	6	1	0	13	1,5	5	1,7	1	12	2	4	1,5	1	11	1,5	3	1,5	1,5	10,5	1,5	50,00			
TMO / allo-	21	3	0,7	1,5	14	1	1	3,5	11	1	1	1	3	11	1	1	0	1	4,5	10	1	100,00			
TMO / allo-	22	4,5	0,7	1,5	14	1	1	1,5	2,5	11	1	1	1,5	4	11	1,5	0	1,5	3,5	9	1,5	100,00			
ауто- / auto-	23	5	0,7	0,5	15	1	0	3,5	4,5	10	1,5	0	2	5	11	2	0	2	5	10	2	100,00			
ауто- / auto-	24	4	1	1,5	12	2	0	3	4	8,5	1	0	2,5	3,5	9,5	2	0	2,5	4	8	2	100,00			
TMO / allo-	25	4	0,5	1	12	2	0,5	3	2,5	9	1	0,5	2	2	9	1,5	0	2	3	8	1,5	100,00			
TMO / allo-	26	4,5	0,3	0	12	1,5	0	2	2	9	0,5	1	1	2	9,5	1	0,5	1	3	8	1	88,89			
ауто- / auto-	31	5	0,5	0	14	4	0,5	2,5	6,5	9,5	1	1	2	6	10	1	1	2	6	10	1	80,00			
ауто- / auto-	32	4,5	0,5	0	13,5	4,5	1,5	1	3	10,5	1	0	1,5	3	11	1	2	1	4	11	1	55,56			
TMO / allo-	33	2,5	0,5	0	12,5	1,5	0	1,5	4,5	10	1	0	2	4,5	10	1	0	1	4	10	1	100,00			
TMO / allo-	34	3	0,5	0	13	1,5	1	1	2,5	9,5	1	1	1	3	9,5	1,5	1	1	1	10	1	66,67			
TMO / allo-	35	3	0,7	0	11,5	1,5	1	3,5	8,5	1	1	2	3	9	1,5	1,5	1	1,5	10	1,5	10	50,00			
TMO / allo-	36	3	0,7	1,5	10	1,5	2	5	7,5	1,5	1	2,5	4,5	7,5	1,5	2,5	4	8,5	2	50,00					
ауто- / auto-	41	6	0,4	0	14,5	3,5	2	1,5	5	10	1	1	2	6	10	1	1,5	2,5	6	10	1	75,00			
ауто- / auto-	42	3,5	0,5	0	13	3,5	1	1,5	5	10	1	1	1,5	5	11	1	1	1	3	10,5	1	71,43			
TMO / allo-	43	4	0,7	0	14	2,5	1	1	2	12,5	1	0	1	3	12	1	2	1	3	12	1	50,00			
TMO / allo-	44	3	0,7	0	12	2	1,5	1	3	10	1	1,5	1	3	9,5	1	2	1	4	11	1	33,33			
TMO / allo-	45	2	0,7	0	10,5	1,5	0	1	4	9	1	0	1	4	8,5	1	1	1	3,5	9,5	1	50,00			
TMO / allo-	46	2	0,8	1	10	2	0	1,5	5	9	1	0	1,5	4	8,5	1,5	1	2,5	4,5	9	2	50,00			

Деэпителизация анатомических сосочков, обработка поверхностей корней зубов, фиксация свободного десневого аутотрансплантата и пластического материала ТМО (dura mater) швами, с полным перекрытием слизисто-надкостничным лоскутом, фиксация швами слизисто-надкостничного лоскута узловыми одиночными швами в области установки аутотрансплантата и ТМО (dura mater), двойными обививными для слизисто-надкостничного лоскута, и крестообразными прижимающими горизонтальными швами для фиксации слизисто-надкостничного лоскута в новом положении. Обработка поверхностей корней зубов проводилась аналогично.

Послеоперационный период после всех операций протекал спокойно, без воспаления и особенностей, реактивный отек соответствовал норме в случае применения аутотрансплантата и ТМО (dura mater).

Реактивность в области применения ТМО и аутотрансплантата была сопоставима и сравнима с травмой мягких тканей при хирургическом вмешательстве. Имеет место реакция в обоих случаях на операцию, но на материал ТМО реакция отсутствует.

## Ведение пациента в операции и после:

- Для обработки операционного поля применялся антисептический раствор с хлоргексидином 0,12%, аллантоином и пантенолом (Pierrot, Испания).

- Поверхности корней зубов были обработаны 17% гелем ЭДТА – этилендиаминтетраацетат натрия («Эндогель», Россия).

- Местно в день операции и на 14 дней после был назначен гель с хлоргексидином 0,2% (PerioKIN, Испания) для заживления послеоперационных швов.

- Для уменьшения отека местно был назначен холод в первый день по 10-15 минут каждый час.

- При болевых ощущениях после операции был назначен ибuproфен в капсулах по 400 мг (Нурофен).

- Для ускорения васкуляризации аутотрансплантата и ТМО (dura mater) за 7 дней до операции и в течение 14 дней после операции была назначена комбинация пентоксифиллина в таблетках по 100 мг (Трентал) и гемодиализата крови молочных телят в таблетках (Актовегин). (Патент «Способ медикаментозной поддержки пациентов при выполнении костно-пластика операций», RU 2631416).



Рис. 6а. Во втором сегменте до начала лечения  
Fig. 6a. Preoperative photo of the second quadrant



Рис. 6б. Через 9 месяцев  
Fig. 6b. 9 months post-op



Рис. 6в. В первом сегменте до начала лечения  
Fig. 6c. Preoperative photo of the first quadrant



Рис. 6г. Через 8 месяцев  
Fig. 6d. 8 months post-op



Рис. 6д. В третьем сегменте до начала лечения  
Fig. 6e. Preoperative photo of the third quadrant



Рис. 6е. Через 12 месяцев  
Fig. 6f. 12 months post-op



Рис. 6ж. В четвертом сегменте до начала лечения  
Fig. 6g. Preoperative photo of the fourth quadrant



Рис. 6з. Через 12 месяцев  
Fig. 6h. 12 months post-op



Рис. 6и. Во фронтальном участке нижней челюсти до начала лечения  
Fig. 6i. Anterior mandible preoperatively



Рис. 6и. Через 12 месяцев  
Fig. 6j. 12 months post-op

Рис. 6. Сравнение клинической картины в области рецессий десны до начала лечения и через 8-12 месяцев  
Fig. 6. Comparison of clinical picture of the gingival recessions at the baseline and 8-12 months after the treatment

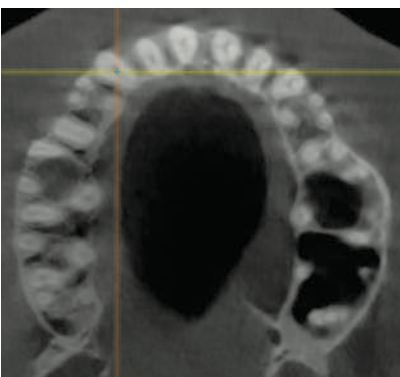


Рис. 7а. Аксиальный срез верхней челюсти  
Fig. 7a. Axial section of the upper jaw



Рис. 7б. Сагиттальный срез в области зуба 1.1  
Fig. 7b. Sagital section in the area of the 11 tooth

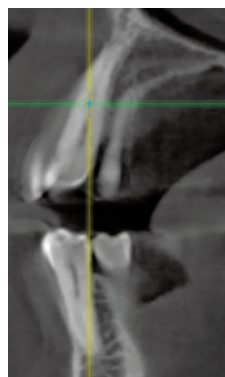


Рис. 7в. Сагиттальный срез в области зуба 1.3  
Fig. 7c. Sagital section in the area of the 13 tooth

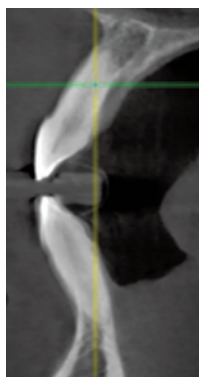


Рис. 7г. 3D-модель верхней челюсти  
Fig. 7d. 3D-model of the upper jaw

Рис. 7. Компьютерное томографическое исследование через 12 месяцев  
Fig. 7. Computed tomography examination after 12 months

7. В день первой операции на нижней челюсти был назначен «Преднизолон» в таблетках по 50 мг однократно. Также в день операции и на три дня после был назначен цетиризин (Зиртек) для снижения послеоперационного отека мягких тканей.

#### РЕЗУЛЬТАТЫ ИССЛЕДОВАНИЯ И ИХ ОБСУЖДЕНИЕ

Во всех случаях применения аутотрансплантата и ТМО (dura mater) наблюдается сопоставимый положительный клинический результат по всем параметрам оценки рецессий десны (табл. 4). В случае нескольких зубов в области наиболее глубоких рецессий с наименьшими клиническими показателями имеет место сохранение класса рецессии не более первого класса (9 зубов) и глубиной не более 2 мм, 1.6 зуб – 3 мм.

В зарубежной литературе встречается также совокупный показатель эффективности лечения рецессий десны – процент закрытия корня зуба – отношение разница между конечным и исходным значениями глубины рецессии к исходному значению в процентах. Положительный результатом лечения является значение равное или более 80% [4]. Использование только показателя глубины рецессии десны для анализа эффективности лечения без учета остальных показателей (ТКД, ШКД, РРД, ЗДК) не дает полной картины результата и может быть применимо только в совокупности с другими показателями (рис. 6а-й).

Так в нашем случае процент закрытия корня зуба наблюдается больше 80% у 13 зубов. Менее 80% – у 11 зубов. Это связано с сохранением класса рецессии после лечения в области зубов с наибольшим классом рецессии и наибольшим показателем глубины рецессии. При этом средний показатель всех 24-х оперированных

зубов – 83,1%. При этом среднее значение процента закрытия корня зуба для зубов с положительным результатом (более 80%) составляет 96,65%. Среднее значение для результатов менее 80% – 54,73, что связано с изменением глубины рецессий с 6 мм до 3 мм, с 4 мм до 2 мм и с 2 до 1 мм. При этом для аутотрансплантата и для ТМО результаты сопоставимы.

#### Анализ компьютерного томографического обследования

Через 12 месяцев (рис. 7а-г) на срезах компьютерной томограммы 11-ый и 13-ый зубы находятся в костной ткани, при этом костные пики и перегородки укрепились, объем их увеличился; вестибулярно заметен объем костной массы, предположительно компактной формации, исходя из электронной плотности участка. Этим объясняется отсутствие рецидива при лечении рецессии десны как в случае применения аутотрансплантата, также и ТМО (dura mater).

#### ВЫВОДЫ

1. Результат применения ТМО (dura mater) и аутотрансплантата сопоставим, реактивность на операцию одинаковая.
2. Учитывая исключение второго операционного поля, использование ТМО (dura mater) привлекательно для сочетанного, а также самостоятельного применения для хирургического лечения множественных и особенно генерализованных рецессий десны.
3. Возможно применение ТМО сочетанно с аутотрансплантатом и в качестве альтернативы аутотрансплантату при всех классах рецессий десны по Миллеру, с различным сопутствующим профилем пациентов.

#### СПИСОК ЛИТЕРАТУРЫ / REFERENCES

1. Pendor S, Baliga V, Bhongade ML, Turakia V, Shori T. A comparison between connective tissue grafts combined with either double pedicle grafts or coronally positioned pedicle grafts: A clinical study. Journal of Indian Society of Periodontology. 2014;18:326-330.  
<https://doi.org/10.4103/0972-124X.134570>.
2. Shamugam M, Shivakumar B, Meenapriya B, Anitha V, Ashwath B. Clinical evaluation of expanded mesh connec-

tive tissue graft in the treatment for multiple adjacent gingival recessions in the esthetic zone. Contemporary of Clinical Dentistry. 2015;6:321-326.

<https://doi.org/10.4103/0976-237X.161870>.

3. Egawa M, Inagaki S, Tomita S, Saito A. Connective Tissue Graft for Gingival Recession in Mandibular Incisor Area: A Case Report. The Bulletin of Tokyo Dental College. 2017;58(3):155-162.  
<https://doi.org/10.2209/tdcpublication.2016-0038>.

4. Rijhwani JA, Kini VV, Pereira R, Yadav S. Free Gingival Autograft and Subepithelial Connective Tissue Graft for the Treatment of Gingival Recession: A Brief Review and Report of Three Cases. *Journal of Contemporary Dentistry* 2016;6(3):225-232.  
[https://doi.org/10.5005/jp-journals-10031-1176.](https://doi.org/10.5005/jp-journals-10031-1176)
5. Noncheva V, Dobreva M, Chenchev I. Is Treatment of Gingival Recession Predictable? *Journal of Mathematics (IOSR-JM)*. 2016;12(5)Ver.V:07-11.  
[https://doi.org/10.9790/5728-1205050711.](https://doi.org/10.9790/5728-1205050711)
6. Ahmari F. Al. An Acellular Dermal Matrix Allograft for Treatment of Multiple Gingival Recession Defects: A Case Report. *Journal of Dental Health, Oral Disorders and Therapy*. 2018;9(1):00328.  
[https://doi.org/10.15406/jdhdt.2018.09.00328.](https://doi.org/10.15406/jdhdt.2018.09.00328)
7. Garcia-Mendez MC, Rodriguez-Pulido JI, Sandoval GM, Garza-Enriquez M, Gomez-Butzman L. Management of Miller-Class I and III gingival recessions through different techniques combined with connective tissue graft: a case report. *Journal Of Clinical Periodontology*. 2018. PCS107.  
[https://doi.org/10.1111/jcpe.106\\_12916.](https://doi.org/10.1111/jcpe.106_12916)
8. Isler SC, Ozcan G, Ozcan M, Omurlu H. Clinical evaluation of combined surgical/ restorative treatment of gingival recession-type defects using different restorative materials: A randomized clinical trial. *Journal of Dental Sciences*. 2018 Mar;13(1):20-29.  
[https://doi.org/10.1016/j.jds.2017.09.004.](https://doi.org/10.1016/j.jds.2017.09.004)
9. Sculean A, Cosgarea R, Katsaros C, Arweiler NB, Miron RJ, Deppe H. Treatment of single and multiple Miller Class I and III gingival recessions at crown-restored teeth in maxillary esthetic areas. Article in Quintessence Publishing Deutsch landinternational. 2017;10:777-782.  
[https://doi.org/10.3290/j.qi.a39031.](https://doi.org/10.3290/j.qi.a39031)
10. Stein JM. Decision-Making in Surgical 7 Management of Gingival Recession. part of Springer Nature. 2018:83-95.  
[https://doi.org/10.1007/978-3-319-70719-8\\_7.](https://doi.org/10.1007/978-3-319-70719-8_7)

#### Конфликт интересов:

Авторы декларируют отсутствие конфликта интересов/

#### Conflict of interests:

The authors declare no conflict of interests

#### Поступила / Article received 25.09.2020

Поступила после рецензирования / Revised 13.10.2020

Принята к публикации / Accepted 22.11.2020

## СВЕДЕНИЯ ОБ АВТОРАХ

**Носова Мария Александровна**, врач-стоматолог, хирург, пародонтолог, имплантолог Санкт-Петербургского Государственного автономного учреждения здравоохранения «Городская поликлиника №40 для творческих работников», Клинический консультант общества с ограниченной ответственностью «Стоматологический магазин «РОМАШКА», Клинический консультант по материалам «ЛИОПЛАСТ». Санкт-Петербург, Российская Федерация

E-mail: mashanosova2013@gmail.com

ORCID: <https://orcid.org/0000-0002-8667-7850>

**Волова Лариса Теодоровна**, доктор медицинских наук, профессор, главный научный сотрудник Института экспериментальной медицины Самарского государственного медицинского университета, Самара, Российская Федерация

E-mail: csrl.sam@mail.ru

ORCID: <https://orcid.org/0000-0002-8510-3118>

**Шаров Алексей Николаевич**, провизор, магистр экономики, частный научный деятель, оперативный и клинический фармаколог, генеральный директор общества с ограниченной ответственностью «Стоматологический магазин «РОМАШКА», клинический консультант

E-mail: mashanosova2013@gmail.com

ORCID: <https://orcid.org/0000-0002-8667-7850>

**Maria A. Nosova**, DDS, Saint-Petersburg state medical Polyclinic No. 40 for creative professionals, Clinical consultant of the Dental Shop HAMOMILLA LLC, Clinical consultant on LYOPLAST materials, Saint Petersburg, Russian Federation

E-mail: mashanosova2013@gmail.com

ORCID: <https://orcid.org/0000-0002-8667-7850>

**Larisa T. Volova**, DSc, Professor, Chief researcher, Institute of Experimental Medicine and Biotechnology, Samara State Medical University, Samara, Russian Federation

E-mail: csrl.sam@mail.ru

ORCID: <https://orcid.org/0000-0002-8510-3118>

**Alexey N. Sharov**, pharmacist, MA in Economics, private researcher, clinical pharmacologist, General Director of Dental Shop HAMOMILLA" LLC, consultant on LYOPLAST materials, Saint Petersburg, Russian Federation

тант по материалам «ЛИОПЛАСТ», Санкт-Петербург, Российская Федерация

E-mail: me@sharovalex.ru

ORCID: <https://orcid.org/0000-0001-6426-3035>

**Трунин Дмитрий Александрович**, доктор медицинских наук, профессор, директор стоматологического института Самарского государственного медицинского университета, заведующий кафедрой стоматологии Самарского государственного медицинского университета, президент Стоматологической ассоциации России, Самара, Российская Федерация

E-mail: trunin-027933@yandex.ru

ORCID: <https://orcid.org/0000-0002-7221-7976>

#### Автор, ответственный за связь с редакцией:

**Постников Михаил Александрович**, доктор медицинских наук, доцент, заведующий кафедрой терапевтической стоматологии Самарского государственного медицинского университета, профессор кафедры стоматологии Самарского государственного медицинского университета, Самара, Российская Федерация

Для переписки: postnikovortho@yandex.ru

ORCID: <https://orcid.org/0000-0002-2232-8870>

## INFORMATION ABOUT THE AUTHORS

**Maria A. Nosova**, DDS, Saint-Petersburg state medical Polyclinic No. 40 for creative professionals, Clinical consultant of the Dental Shop HAMOMILLA LLC, Clinical consultant on LYOPLAST materials, Saint Petersburg, Russian Federation

E-mail: mashanosova2013@gmail.com

ORCID: <https://orcid.org/0000-0002-8667-7850>

**Larisa T. Volova**, DSc, Professor, Chief researcher, Institute of Experimental Medicine and Biotechnology, Samara State Medical University, Samara, Russian Federation

E-mail: csrl.sam@mail.ru

ORCID: <https://orcid.org/0000-0002-8510-3118>

**Alexey N. Sharov**, pharmacist, MA in Economics, private researcher, clinical pharmacologist, General Director of Dental Shop HAMOMILLA" LLC, consultant on LYOPLAST materials, Saint Petersburg, Russian Federation

E-mail: me@sharovalex.ru

ORCID: <https://orcid.org/0000-0001-6426-3035>

**Dmitry A. Trunin**, DSc, Professor, Director of Dental Institute, head of the department of Dentistry, Samara State Medical University, President of the Russian Dental Association, Samara, Russian Federation

E-mail: trunin-027933@yandex.ru

ORCID: <https://orcid.org/0000-0002-7221-7976>

#### Corresponding author:

**Mihail A. Postnikov**, DSc, head of the department of operative dentistry, professor at the department of Dentistry, Samara State Medical University, Samara, Russian Federation

For correspondence: postnikovortho@yandex.ru

ORCID: <https://orcid.org/0000-0002-2232-8870>